

中央大学 学生員の野間博伸

建設省土木研究所 正員 龍岡文夫

日本大学大学院 学生員 坂場義雄

ゆるい飽和砂質地盤は、地震時に液状化する事が知られている。その過程で、液状化に及ぼす要素は多岐にわたり、液状化する砂層中の挙動は非常に複雑である。その中から、今回、小型の砂箱振動台を用いて、入力の周波数が、地盤の液状化現象に与える影響を調べる事を目的として、模型振動実験を行ったので、その結果を報告する。

図-1に示す砂箱を使用した。端壁は下端ヒンジとして振動方向の拘束を減じる様にした。砂は、豊浦標準砂($G=2.64$, $D_0=0.2^{mm}$, $D_{10}=0.16^{mm}$, $e_{max}=0.96$, $e_{min}=0.64$)を使用し、飽和砂層は、水中に乾燥砂を落とさせて作成した。砂箱を載せてある振動台は、4台の油圧式補助振動台で支えている。この振動

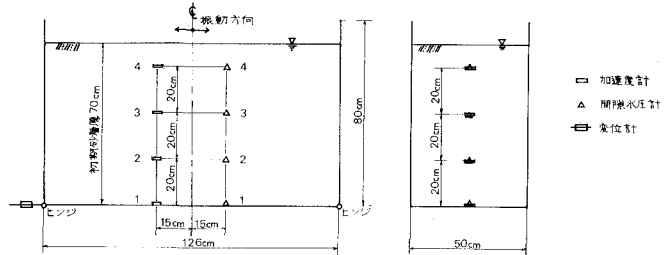


図-1 砂層模型と計器の配置

台を、油圧を用いた変位制御方式のアクチュエーター(MTS社製・容量2 ton-G)で駆動した。測定は、図-1に示す計器を使用し、加速度計・間隙水圧計には、回転しない様に振動方向の羽根を付けた。入力振動は、図-2の台加速度に見られるように、第一波から定常波が出るよう、あらかじめデータレコーダーに記録した正弦波を入力波形とした。実験方法は、表-1に示すように、3つのケースについて実験を行ない、砂層の密度は、少しづつはあるが全てなるべくゆるづめとした。加振は、各台加速度段階ごとに、全て300波とし、それぞれの段階の間に時間をおいて、その間、表面の沈下量の測定を行った。

図-2に、実験ケースB・段階Iでの台変位・加速度・間隙水圧の記録波形を示す。各計器の位置は、図-1を参照されたい。4つの間隙水圧がピークになる時に4つの加速度はゼロになり、順次下層へと間隙水圧がピークに達して又砂中加速度がゼロになる場所は、移ってゆく。液状化現象は、上層から下層へとおこる事を示している。次に

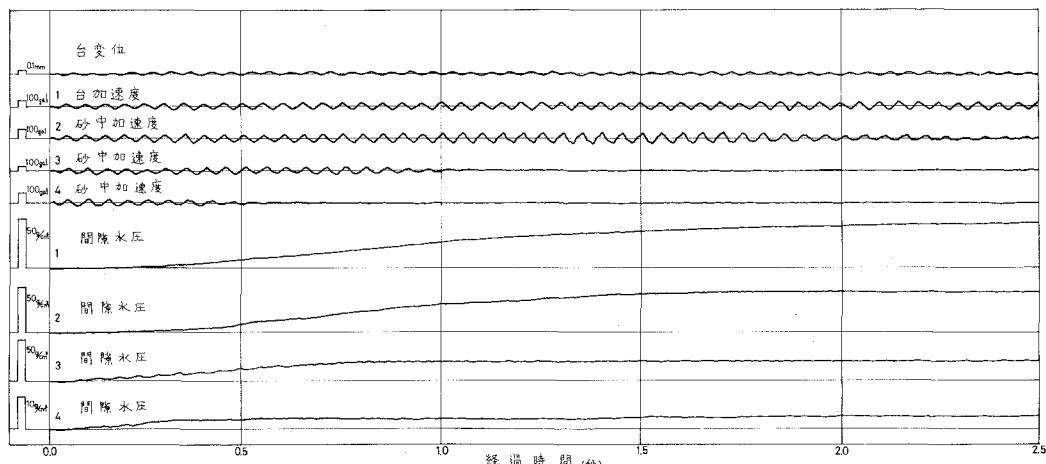


図-2 実験B・段階Iの記録波形

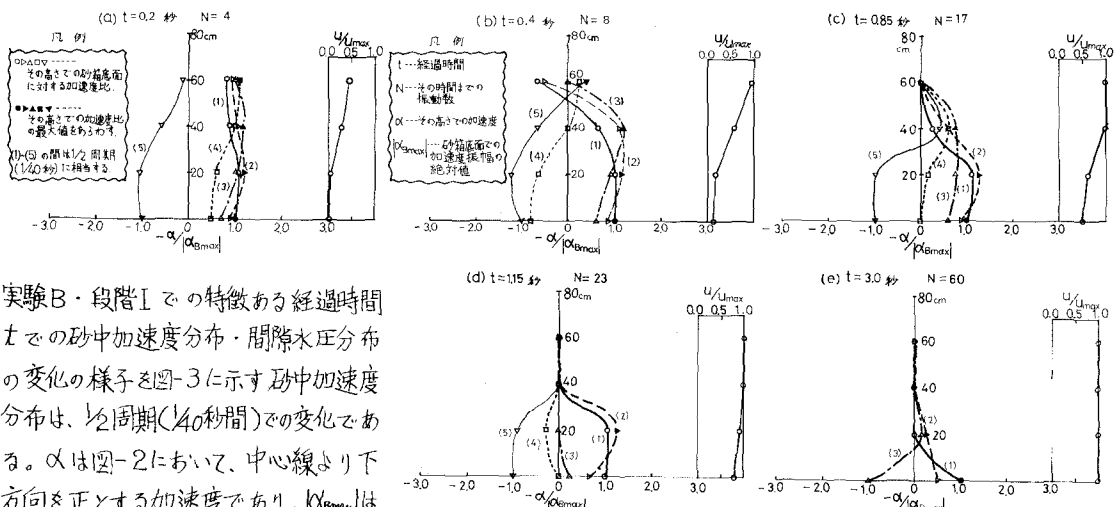


図-3 加速度分布・間隙水圧分布の時間的変化

実験B・段階Iでの特徴ある経過時間までの砂中加速度分布・間隙水圧分布の変化の様子を図-3に示す。砂中加速度分布は、約2周期(140秒間)での変化である。 α は図-2において、中心線より下方向を正とする加速度であり、 $|\alpha_{Bmax}|$ は砂箱底での加速度の最大値の絶対値である。液状化に至る過程で、砂層は相当複雑な振動をしていて、砂は決して剛体的な運動をしておらず、砂層中にかなりの歪が発生している。図-4に実験A,B,Cでの段階IとIIでの各位置の加速度がゼロになった時までの振動数Nと入力の周波数fとの関係を示す。f=40Hzの実験では、加速度計2で記録された加速度は、完全にはゼロにならなかったので、極小値を示した時までの振動回数を示した。明らかに、加速度計2での第Ⅱ段階の場合を除いて、fの小さい程、液状化に必要なくり返し回数Nは少ない事、即ち、fの小さい程、同じ台加速度に対して液状化しやすい事を示している。これは、恐らく、次に示す理由によるものであろう。砂中のある場所での正弦振動中に発生する振幅は、次式である。

$$\delta = \frac{\alpha}{2\pi f} \cdot \frac{1}{V_s} \quad (\alpha: \text{加速度}, f: \text{周波数}, V_s = \sqrt{f}: S\text{波速度}) \quad \dots \dots (1)$$

この式は、 δ はfに比例し、fに反比例する事を示している。 α の値はfによって異なる応答値であり、今回の場合は、高さ40cmの加速度計3で記録された加速度の1台加速度に対する比 α/α_{Bmax} の液状化前での最大値は、f=10Hzで0.9、f=20Hzで1.18、f=40Hzで1.6であり、三者での δ の比は同一の

V_s に対しては、(1)式から $0.9:1.18:1.6 = 1:0.66:0.44$ であり、明らかに f が小さい程 δ が大きい。 δ が大きい程液状化が生じやすくなるから、この事は、図-4の結果と矛盾しない。しかし、f が小さい程、同一の台加速度に対して液状化しやすいというは一般的な結論ではないように思われる。(1)式に示す様に加速度応答値 α が f によって変わり、 α/f が δ の値を決めるからである。今回の実験から、地盤の液状化が、加速度値だけでは支配されず、入力の周波数にも支配される可能性のある事が分った。(1)式は又、セイ断応力を G が f に支配される事を示している。今後は、図-3を基にして実際の δ の値を推定してみて、上述の議論の検証をしてみる予定である。尚、本研究を進めるにあたって、振動研究室長岩崎敏男氏の御指導、吉田精一氏の御協力を得た。末筆ながら感謝の意を表します。

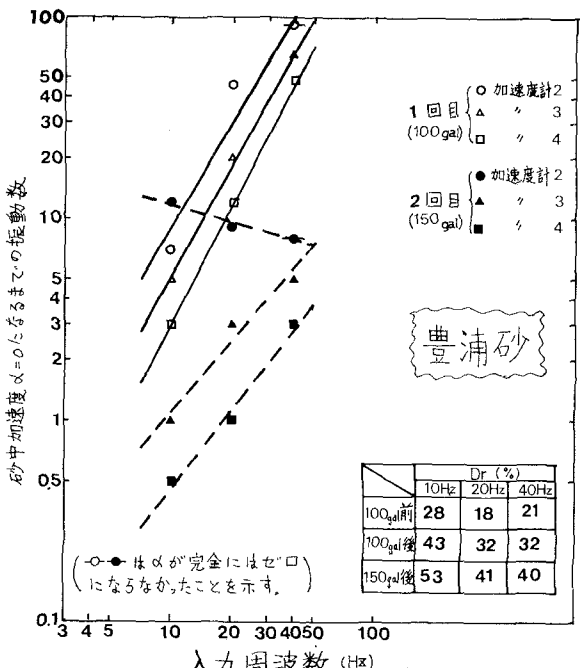


図-4 液状化するまでの振動回数と入力周波数の関係